

АКАДЕМИЯ НАУК СССР

МИКРОЭЛЕКТРОНИКА

Том 6

(ОТДЕЛЬНЫЙ ОТТИСК)

МОСКВА · 1977

УДК 621.382.82.001.2

**СИНТЕЗ МАКРОМДЕЛЕЙ ФРАГМЕНТОВ БИС
МЕТОДОМ ВОЗМУЩЕНИЙ**

М. М. ГУРАРИЙ, С. Г. РУСАКОВ

Разработка и применение макромоделей является в настоящее время ведущим направлением в машинном проектировании сложных электронных схем и систем [1, 2]. Первоочередной задачей при разработке электрических макромоделей [2] является, как указано в работе [3], решение проблемы автоматического перехода от компонентных уравнений моделей базовых схем к макромоделям. Действительно, в ряде случаев, например при электрическом расчете БИС, синтез макромоделей отдельных фрагментов целесообразно осуществлять не по результатам измерений, а формальными методами, исходя из полной математической модели рассматриваемого фрагмента БИС. Решение такой задачи, позволяющей автоматизировать формирование макромоделей, вызывает ряд затруднений, особенно для динамического случая.

В настоящей работе предлагается метод формирования динамических макромоделей, использующий идею метода возмущений. В [4] метод возмущений был применен для построения динамических моделей интегральных компонентов. В результате обеспечивался переход от уравнений в частных производных к обыкновенным дифференциальным уравнениям (ОДУ). Покажем, как с помощью метода возмущений из полной математической модели рассматриваемого фрагмента БИС (или типового каскада электронной системы) может быть получена его упрощенная модель (макромодель). Задача заключается в формировании математической модели в виде вектор-функции

$$I = H(\dot{y}, y) \quad (1)$$

из системы ОДУ

$$F(\dot{x}, x, \dot{y}, y) = 0, \quad (2)$$

$$I = R(\dot{x}, x, \dot{y}, y),$$

описывающей полную математическую модель рассматриваемой подсхемы. Здесь x — вектор, характеризующий состояние, например, вектор узловых потенциалов во внутренних узлах подсхемы; y — вектор потенциалов полюсных (внешних для подсхемы) узлов; I — вектор полюсных токов (размерность векторов y и I равна числу полюсов p); F — сумма узловых токов подсхемы (размерности x и F равны числу внутренних узлов n). Синтез макромоделей в виде (1) обеспечивает простоту их дальнейшего применения в программах расчета сложных электронных схем с автоматическим формированием уравнений модели.

Пусть найдено статическое решение системы (2)

$$F(0, x, 0, y) = 0 \quad (3)$$

для различных значений y , т. е. определена функция $x_0(y)$. Тогда решение системы ОДУ (2) ищем в виде

$$x(t) = x_0(y(t)) + \delta x(t). \quad (4)$$

Здесь $\delta x(t)$ — отклонение от статического решения (2). Производную $\dot{x}(t)$ определяем дифференцированием (4) как сложной функции, положив при этом $\delta x=0$ (основная предпосылка метода возмущений). Расширенная система подсхемы (2) в результате может быть записана в виде

$$F\left(x_0(y)+\delta x, \frac{\partial x_0}{\partial y}\dot{y}, y, \dot{y}\right)=0, \quad (5)$$

$$I=R\left(x_0(y)+\delta x, \frac{\partial x_0}{\partial y}\dot{y}, y, \dot{y}\right). \quad (6)$$

Следовательно, разрешив систему (5) относительно δx (при параметрах y и \dot{y}) и подставив в (6) функцию $\delta x(\dot{y}, y)$, получим модель в искомом виде (1). Основная предпосылка метода, как указывалось, определяется условием

$$\delta\dot{x}(t)\ll\dot{x}_0(t), \quad (7)$$

т. е. собственная инерционность внутренних узлов существенно меньше инерционности изменения полюсных переменных. Такое условие выполняется в большинстве практических случаев. Отметим, что если для какого-либо из узлов условия (7) не выполняются (один или несколько узлов оказываются заранее существенно инерционными), то для применения предложенной методики достаточно эти узлы формально отнести к внешним. В результате при формировании макромодели они не будут исключены, а полученная макромодель будет представлять собой подсхему, содержащую эти узлы в качестве внутренних.

Рассмотрим подробнее применение предложенного метода для частного случая: коэффициенты системы (2) $\partial F/\partial\dot{x}$ и $\partial F/\partial\dot{y}$ не зависят от производных \dot{x} и \dot{y} . Именно этот случай (емкости не зависят от производных) является практически важным для реальных схем.

При разложении функции F в ряд Тейлора по производным \dot{x} и \dot{y} в этом случае верно равенство

$$F(\dot{x}, x, \dot{y}, y)=F_0(x, y)+\frac{\partial F}{\partial\dot{x}}(x, y)\dot{x}+\frac{\partial F}{\partial\dot{y}}(x, y)\dot{y}=0. \quad (8)$$

Введем обозначения матриц

$$C_x=\partial F/\partial\dot{x}, \quad C_y=\partial F/\partial\dot{y}.$$

Получив по аналогии с (5) уравнение относительно δx и линеаризуя его для решения (например, методом Ньютона), получим с учетом введенных обозначений

$$\frac{\partial F}{\partial x}\delta x+F_0(x_0(y), y)+C_x(x_0(y), y)\frac{\partial x_0}{\partial y}\dot{y}+C_y(x_0(y), y)\dot{y}=0. \quad (9)$$

Здесь

$$\frac{\partial F}{\partial x}=\frac{\partial F_0}{\partial x}+\frac{\partial C_x}{\partial x}\dot{x}+\frac{\partial C_y}{\partial x}\dot{y}\approx\frac{\partial F_0}{\partial x}*,$$

а второй член F_0 равен нулю, так как соответствует решению для статического режима. Ограничивааясь одной итерацией (очевидно, что систему (8) можно решать итерационно с заданной погрешностью), получаем из (9) значение δx :

$$\delta x(y, \dot{y})=-\left[\frac{\partial F}{\partial x}\right]^{-1}\left[C_x(x_0(y), y)\frac{\partial x_0}{\partial y}+C_y(x_0(y), y)\right]\dot{y}. \quad (10)$$

* В силу принятого допущения об относительно малой скорости изменения переменных вторым и третьим членом в сумме (вкладом нелинейных емкостей в активную проводимость) с допустимой погрешностью можно пренебречь.

Подставляя это значение в систему (6) и переходя к разложению Тейлора по аналогии с (8), получаем результирующее выражение в виде

$$I = R_0(x_0(y), y) + C_{\text{энв}}(y)\dot{y}, \quad (11)$$

где $C_{\text{энв}}$ определяется формулой

$$\begin{aligned} C_{\text{энв}}(y) = & \left[\frac{\partial R}{\partial x} \right] \left[-\frac{\partial F}{\partial x} \right]^{-1} \left[C_x(x_0(y), y) \frac{\partial x_0}{\partial y} + C_y(x_0(y), y) \right] + \\ & + \left[\frac{\partial R}{\partial x} \frac{\partial x_0}{\partial y} + \frac{\partial R}{\partial \dot{y}} \right]. \end{aligned} \quad (12)$$

Таким образом, синтезируемые макромодели имеют в этом случае простой окончательный вид (11): первый член представляет собой статическую модель (зависимость полюсных токов от напряжений), а второй отражает вклад динамических токов.

Автоматизация формирования макромоделей с применением предлагаемой методики включает следующие этапы. В области определения полюсных переменных y фиксируется ряд значений. Для каждого из этих значений выполняются операции:

- 1) рассчитывается статический режим подсхемы, т. е. вычисляется значение x и соответствующий ему вектор полюсных токов ($I = H(y)$) из решения системы (3);
- 2) находятся производные $\partial x_0 / \partial y$ из решения линейной системы

$$\frac{\partial F}{\partial x} \frac{\partial x_0}{\partial y} + \frac{\partial F}{\partial y} = 0$$

по окончании итерационного процесса решения (3);

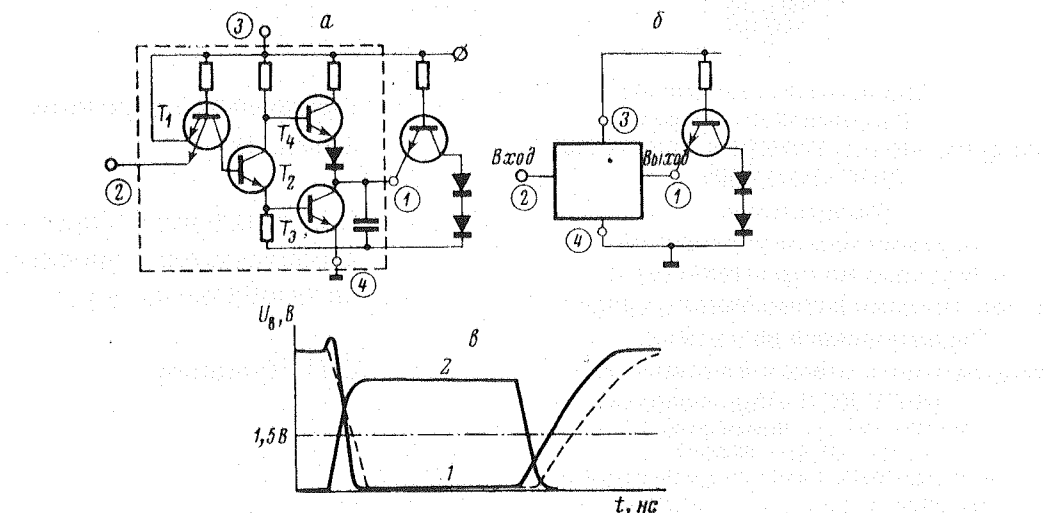
3) автоматически формируется динамическая модель подсхемы, т. е. матрицы проводимостей $\partial F / \partial x$ и емкостей C_x и C_y ;

4) вычисляется матрица $C_{\text{энв}}$ по формуле (12).

Найденные значения $H(y)$ и $C_{\text{энв}}(y)$ могут храниться или в табличной форме (с дальнейшей интерполяцией при использовании) или после аппроксимации в виде удобных функциональных зависимостей.

Результаты анализа динамических режимов с использованием макромодели, полученной разработанным алгоритмом, сравнивались с результатами расчета по исходной полной математической модели для «медленного» варианта интегрального ТТЛ-вентиля [5] (рисунок а). ТТЛ-вентиль заменялся при моделировании четырехполюсником (рисунок б). При построении макромодели по исходной полной модели использовались аппроксимации полюсных токов от напряжений на полюсах в статическом режиме $I_{\text{ст}}(y)$ ($I = H(y)$) в соответствии с зависимостями, приведенными в работе [5]. С помощью формулы (12) осуществлялся формализованный расчет значений емкостей (выходной C_{11} , входной C_{22} и взаимных C_{12} , C_{21}) и аппроксимировались их зависимости от режима. Отметим, что взаимные емкости C_{12} и C_{21} не равны между собой, а емкость C_{12} в определенных режимах становится отрицательной. В исходной модели учитывался нелинейный характер емкостей $p-n$ -переходов.

Иллюстрация к расчетам приведена на рис. 4, б. Значительное увеличение выброса выходного напряжения при включении вентиля объясняется непосредственной емкостной связью (C_{12}) между выходом и входом у используемой макромодели. Получено удовлетворительное совпадение результатов расчета переходных процессов при включении (уменьшение времени задержки $t_{\text{зад}}$ при использовании макромодели оказалось в пре-



Моделирование переходных процессов ТТЛ ИС с использованием полной модели ТТЛ-вентиля — *а* и его макромодели — *б*, *в* — переходные характеристики, рассчитанные по полной модели (пунктир), результаты расчетов с помощью макромоделей (сплошная), *1* — форма выходного, *2* — входного напряжения

делах 20%). Несколько большей оказалась разница при расчете времени выключения. Такой результат объясняется наличием существенной задержки в схеме при рассасывании носителей в транзисторе T_3 , что не учитывается непосредственно в используемой макромодели. В связи с существенной инерционностью потенциала внутреннего узла (база T_3) в данном случае для повышения точности макромодели целесообразно оставить емкость в базе T_3 , т. е. считать этот узел полюсным.

Заключение

Как следует из изложенного, предлагаемый подход позволяет свести формирование динамической макромодели к аналогичной задаче для статического случая, что является его существенным достоинством. Применение метода позволяет получить макромодели в форме, удобной для использования в программах анализа сложных электронных схем с автоматическим формированием уравнений модели. Метод может быть использован для формирования макромоделей как фрагментов БИС, так и электронных схем высокой степени сложности.

Поступила в редакцию
3 января 1977 г.

ЛИТЕРАТУРА

- Гринбаум Д. Р., Миллер В. А. Модели цифровых ИС для машинного проектирования. Обзор. «Электроника», М., «Мир», 1973, № 25, 26; 1974, № 2, 3.
- Норенков И. П., Маничев В. В., Жук Д. М. Изв. вузов СССР. Радиоэлектроника, 1976, т. 19, № 6, стр. 118.
- Агаханян Г. М., Архангельский А. Я., Архангельская И. Т. Микроэлектроника, 1976, т. 5, № 3, стр. 211.
- Гурий М. М. Метод построения динамических моделей компонентов интегральных схем. Микроэлектроника. М., «Сов. радио», 1971, вып. 4, стр. 328.
- Скарлетт Дж. ТТЛ-интегральные схемы и их применение. М., «Мир», 1974.